# 杨房沟水电站地下厂房开挖支护设计施工实践

焦 凯, 李 俊, 张晓辉

(雅砻江流域水电开发有限公司,四川 成都 610051)

摘 要:杨房沟水电站地下厂房属于典型的大跨度、高边墙地下洞室,工程区地质条件复杂,第一主应力方向与厂房轴线方向大角度相交,洞室岩体开挖卸荷变形明显。根据厂房的结构特点、地质条件及施工影响因素,制定科学的开挖支护设计和施工方案,合理地安排开挖顺序、布置施工通道,在开挖过程中采用控制爆破、安全监测、动态设计等技术措施,开挖施工质量得到有效保证、结构安全稳定得到有效控制,为同类型地下厂房开挖提供了丰富的经验。

关键词:地下厂房;支护设计;施工方案;处理措施;效果评价

中图分类号:TV7; TV731.5; U455.41+2

文献标识码: B

文章编号:1001-2184(2019)02-0083-05

# 0 引 言

随着西部开发战略的实施,我国水能资源开发集中在西部高山峡谷地区,区域地质条件复杂,工程建筑物布置难度大,建造技术难度高。由于地下厂房具有枢纽布置占地少、与挡水泄水建筑物相对独立、受施工导流影响小、抗震性能好、环境和谐友好、工程造价经济等优点,我国目前开发的水电工程中约有半数采用了地下厂房。

随着金沙江、雅砻江、大渡河、澜沧江等流域 水力资源的大规模集中开发,水电行业逐步形成 了相对完整的超大洞室群建设技术体系,地下厂 房洞室群建设技术及工程建设规模均处于世界领 先地位。

杨房沟水电站为雅砻江流域中游河段一库七级开发的第六级,总装机容量 1 500 MW。枢纽工程区属高山峡谷地貌,河谷狭窄,岸坡陡峻,地震烈度高,坝身泄洪量大,不具备修建坝后式地面厂房及引水式地面厂房的条件。经可行性研究对比分析,引水发电系统布置于工程区左岸山体内,地下厂房采用首部开发方案。

#### 1 开挖支护设计

杨房沟水电站地下厂房上覆岩体厚度 197~328 m,水平岩体厚度 125~320 m,岩性为花岗闪长岩,岩体完整,岩质坚硬,以次块状~块状结构为主,局部镶嵌结构,岩体较完整~完整性差。总体成洞条件较好,围岩整体稳定,但局部存在块体稳定问题,局部稳定性较差,主要为 [[,[[]],类围

岩,其中 II 类占 52.5%, $III_1$  类占 38.8%,局部  $III_2$  类,占 8.7%。岩石饱和单轴抗压强度在  $80\sim100$  MPa 之间,厂区最大主应力  $\sigma_1$  值为  $12\sim15.48$  MPa,最大主应力方向为  $N61^\circ$ W  $\sim$   $N79^\circ$ W,属于中等地应力区。

厂房纵轴线方向为 N5°E,采用圆拱直墙型断面,在平面布置上采用"一"字型布置,从左至右依次为副厂房、主厂房和安装场,洞室开挖尺寸为230 m×30 m(28 m)×75.57 m(长×宽×高)。杨房沟水电站引水发电系统地下洞室群三维布置如图 1 所示。

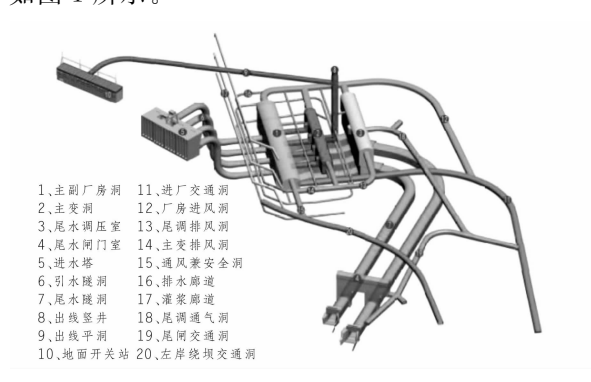


图 1 地下洞室群三维布置图

根据杨房沟水电站地下厂房的规模和特点, 支护设计遵循"根据工程特点,以已建工程经验和 工程类比为主,岩体力学数值分析为辅"的原则, 并根据开挖施工期所揭露的实际地质条件和围岩 监测及反馈分析成果对围岩支护参数进行及时调 整,进行"动态支护设计"以满足围岩的稳定要求。 厂房结构系统支护参数见表 1。

表 1 地	下厂	房系统	支护参数
-------	----	-----	------

 部位	支 护 参 数
顶拱	普通砂浆锚杆 $\varphi$ 28, $L=6$ m/普通砂浆锚杆 $\varphi$ 32, $L=9$ m,@1.5×1.5 m 挂网 $\varphi$ 8@20×20 cm,龙骨筋 $\varphi$ 12@2×2 m,喷混凝土厚 15 cm
拱座	预应力锚杆 $\varphi$ 32, $L=9$ m, $@$ 1.0×1.0 m 挂网 $\varphi$ 8 $@$ 20×20 cm,龙骨筋 $\varphi$ 12 $@$ 2×2 m,喷混凝土厚 15 cm
边墙	普通砂浆锚杆 $\varphi$ 28, $L$ =6 m/普通砂浆锚杆 $\varphi$ 32, $L$ =9 m, $@$ 1.5×1.5 m 挂网 $\varphi$ 8@20×20 cm,龙骨筋 $\varphi$ 12@2×2 m,喷混凝土厚 15 cm 安装间段上下游墙各 2 排无黏结预应力锚索 $T$ =2 000 kN, $L$ =20/25 m@4.5 m 机组段上下游墙各 5 排无黏结预应力锚索 $T$ =2 000 kN, $L$ =20/25 m@4.5 m 副厂房段上下游墙各 6 排无黏结预应力锚索, $T$ =2 000 kN, $L$ =20/25 m@4.5 m
端墙	普通砂浆锚杆 $\varphi$ 28, $L=6$ m/普通砂浆锚杆 $\varphi$ 32, $L=9$ m,@1.5×1.5 m 挂网 $\varphi$ 8@20×20 cm,龙骨筋 $\varphi$ 12@2×2 m,喷混凝土厚 15 cm
基坑之间岩柱	预应力锚杆 $\varphi$ 32, $L=12$ m, @1.5×1.5 m 挂网 $\varphi$ 8@20×20 cm, 喷混凝土, $\overline{\varphi}$ 10 cm

#### 2 地下厂房开挖施工方案

#### 2.1 分层开挖及施工方法

根据厂房结构特点、围岩稳定条件、施工机械性能、运输通道条件及支护方式等因素,按照"立体多层次、平面多工序的"总体原则,洞室开挖支护施工总体共分九大层,并根据现场情况采取层内分层、分区进行爆破开挖。分层分区布置见图2,具体方案如下:

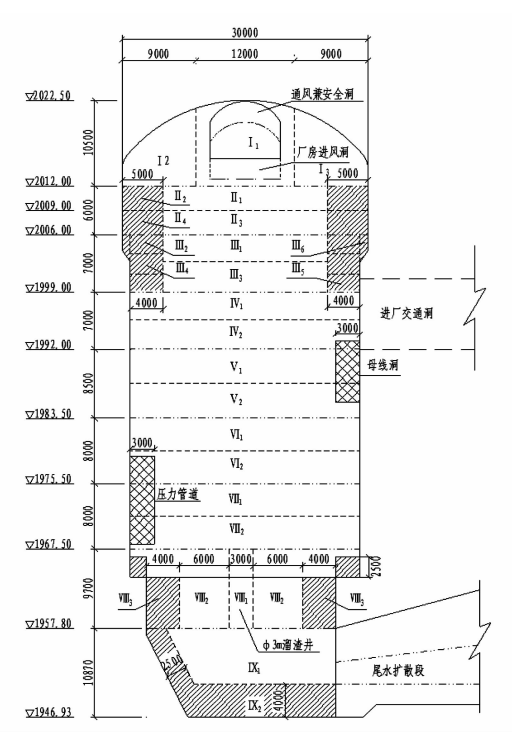


图 2 主副厂房洞开挖分层分区示意图

- (1)第 I 层采用先中导洞开挖,后两侧扩挖的 方式,通过通风兼安全洞出渣。
  - (2)第 Ⅱ~ Ⅲ层均采用中间拉槽,两侧预留保

护层的开挖方式,成"品"字型推进,根据开挖进展情况分别通过通风兼安全洞、进厂交通洞、母线洞和压力管道下平段出渣。其中,母线洞和压力管道范围内采用"先洞后墙"的开挖顺序,提前进入厂房后对3m范围内进行加强支护。

(3)厂房第 W ~ IX 层(机坑)分导井、上游保护层、下游保护层、岩柱顶面保护层四序开挖,通过导井溜渣至机坑底部,通过尾水扩散段出渣。其中,第 IX 层通过尾水扩散段提前进行中导洞开挖。

施工过程中遵循"新奥法"理念,开挖钻 爆遵循"预支护、短进尺、弱爆破,及时支护、早封闭、勤量测"的施工原则,以确保洞室的稳定。

施工过程中,设计根据结构安全稳定计算和数值分析成果,制定厂房分层开挖变形预警标准。根据围岩变形安全监测数据的变化,当围岩变形为安全状态时,可以进行正常施工;当围岩变形超过警戒状态,需暂停开挖,增加监测频次并进行加强支护;当围岩变形达到危险状态,立即停止开挖,并采取加强支护措施保证洞室结构安全。

#### 2.2 开挖质量控制措施

根据厂房地质条件及岩性、技术规范要求、开挖方法及类似工程经验,采用孔间微差爆破技术,轮廓线用预裂或光面爆破。地质条件差的洞段(断层破碎带)和喷锚支护、混凝土衬砌结构附近,特别是岩锚梁、机坑等特殊部位,爆破设计按"短进尺、弱爆破、少扰动"的原则进行,减少围岩爆破松动圈深度,确保结构成型质量。厂房开挖以控制第Ⅲ层岩锚梁岩台成型质量、第 IV~V 层爆破对岩锚梁混凝土质量影响以及 VⅢ~IX 层机坑围岩松弛深度为重点。

开挖爆破均严格控制爆破规模,控制单响药量,确保洞室开挖质量和围岩稳定安全。同时,通过采用爆破震动监测、声波测试和地质素描等手段,掌握爆破开挖情况,适时调整钻孔及装药参数,不断合理优化爆破设计。并且通过采用顶拱周边孔全站仪精准定位、边墙竖直孔及岩锚梁岩台孔采用钢管样架导向定位、高边墙深孔预裂等综合技术措施,保证开挖质量。

#### 3 主要工程问题及处理措施

杨房沟水电站地下厂房结构及地质特点:

- (1)第一主应力方向与厂房轴线方向大角度相交,夹角约为66°~84°。
- (2)受河谷应力场特征影响,厂房洞室围岩应力集中,开挖后应力释放较强烈;开挖揭露的小断层数量较多,伴随断层局部发育有一定范围的蚀变岩体。
- (3)围岩顺洞向中陡倾角不利结构面发育,主要 优势节理与洞轴线成小夹角,易形成不稳定块体。

上述因素对厂房结构和围岩安全稳定造成了 一定不利影响。

#### 3.1 顶拱缓倾角断层 f49 影响带

根据开挖施工揭示情况,中导洞顶拱上厂左 0+01 m 处出露缓倾角断层 f(49),产状  $N75^{\circ}\sim 80^{\circ}E$   $SE \angle 25^{\circ}$ ,充填碎块岩、岩屑,少量泥膜,带内岩体挤压破碎,上游侧拱顶附近岩体有蚀变现象,蚀变带宽  $10\sim 40$  cm 不等。施工排险过程中,断层下盘出现数米长的坍塌破坏,块体方量约 30 m³,断层 f49 影响区域地质纵剖面如图 3 所示。

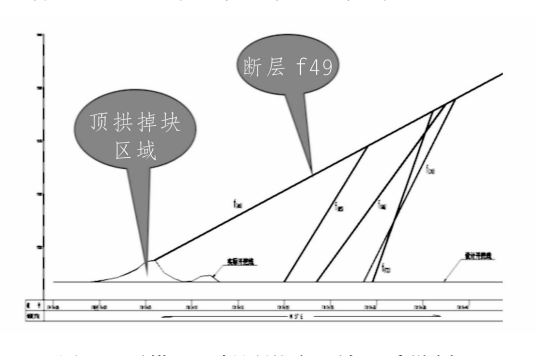


图 3 顶拱 f49 断层影响区域地质纵剖面

针对断层 f49 和其他断层组合的不利影响,设计进行了块体分析和数值计算,根据分析成果,采取加强支护和增设位移计等相关措施,保证不利组合块体安全稳定系数均满足规范要求。顶拱受影响区域加强支护参数如下:锚杆全部调整为

带垫板的普通砂浆锚杆( $\varphi$ 32、L=9 m),水平和垂 直间距达 0.75 m;增设 4 列 5 排锚索,共 20 根。

# 3.2 下游边墙岩锚梁区域断层节理密集带

第Ⅲ层开挖过程中,1~2 # 机组段下游边墙 揭露断层 f83 及其影响带,围岩顺洞向中陡倾角 不利结构面发育,岩体节理面见蚀变现象,表层岩 体较破碎。加上受洞群效应影响,变形问题相对 突出,且对下游边墙和岩锚梁稳定不利。该部位 多点位移计测值随开挖过程呈"台阶状、跳跃式" 上升趋势,浅层岩体变形量级整体较大,深层岩体 变形也具有一定量级。该部位典型地质剖面如图 4 所示。

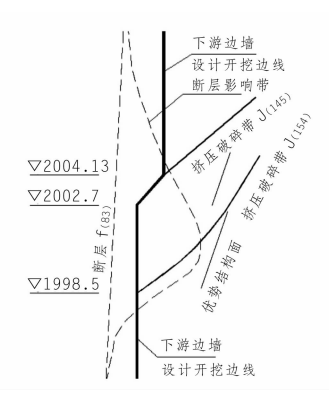


图 4 1~2#机组段下游边墙典型地质剖面图

根据该部位声波检测、钻孔取样试验及围岩稳定计算、块体结构复核分析等成果,为保证下游边墙和岩锚梁结构安全,设计对该部位进行了加强支护,确保厂房后续开挖期间和永久运行期岩锚梁结构安全、稳定。具体措施为:

- (1)针对岩锚梁以上区域岩体存在沿结构面蚀变现象、存在约 2 m 深的低波速区(<3 000 m/s)、发育挤压破碎带问题,在原系统锚杆的条件下采取加密预应力锚杆的措施,加强支护后,预应力锚杆与带垫板的普通砂浆锚杆净间距为 0.75 m;采用钢筋混凝土板+预应力锚索的措施,增设一排预应力锚索,T=2 000 kN,L=20 m,如图 5 所示。
- (2)针对岩锚梁以下区域岩台基础局部发育 节理密集带、岩锚梁抗滑稳定安全裕度不足、岩锚 梁下拐点以下发育挤压破碎带等问题,为提高围 岩承载能力和完整性,保证岩锚梁抗滑稳定,采取 扶壁墙+预应力锚索的措施,如图 6 所示。

#### 3.3 厂房下游侧母线洞裂缝

受厂房开挖卸荷变形、下游边墙挖空率高及

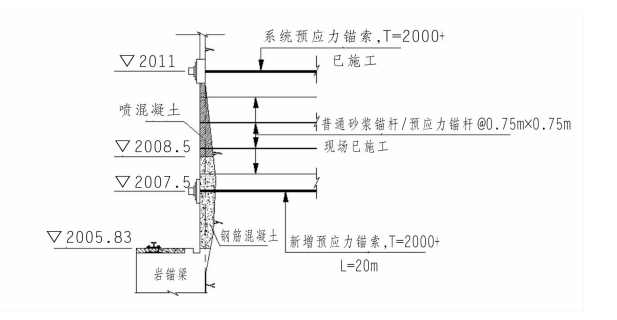


图 5 岩锚梁以上区域加强支护典型剖面图

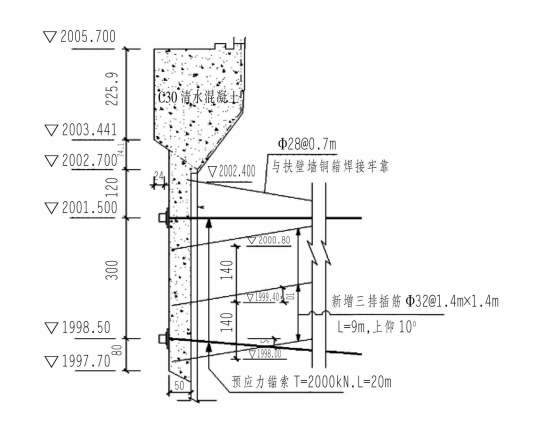


图 6 岩锚梁以下区域加强支护剖面图

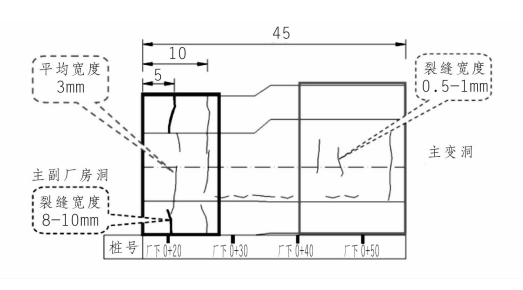


图 7 母线洞喷层裂缝典型分布图

根据下游边墙母线洞范围内岩体声波检测、对穿孔孔内电视等补充物探和安全监测情况分析,结合数值计算成果,在系统支护的基础上,设计拟定加强支护方案,具体如下:

(1)在每条母线洞底板以下 1983.5 m 增设两根预应力锚索,L=40 m,T=2000 kN;1979 m、1976 m 增设 4 根预应力锚索,L=35/40,T=2000 kN,如图 9 所示。

母线洞底板(距离厂房  $0\sim20$  m 区域)增设倾向下游系统锚杆  $\varphi28@1.5$  m, L=4.5 m, 倾角  $60^{\circ}$ 。

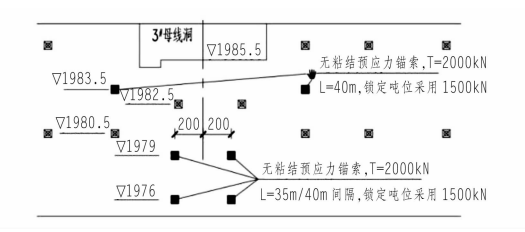


图 8 下游边墙母线洞底板以下锚索加强支护典型示意图

(2)在厂房与主变室之间增设对穿锚索,L = 45.5 m,T = 2 000 kN,如图 9 所示。

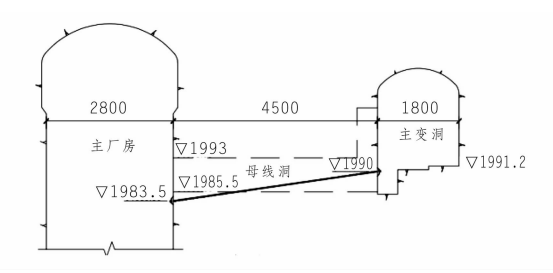


图 9 厂房下游边墙对穿锚索典型示意图

(3)采取固结灌浆措施,对厂房下游边墙母线洞内松动围岩进行固结、对张开的结构面进行封闭,满足永久运行期稳定和防渗要求。固结灌浆孔深 5 m,灌浆压力 0.5~1.0 MPa,排距 2.5 m,如图 10 所示。

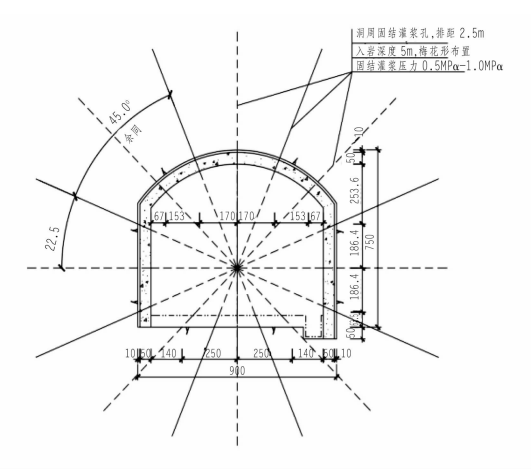


图 10 母线洞围岩固结灌浆布置图

#### 4 施工效果评价

#### 4.1 工期评价

杨房沟水电站地下厂房于 2016 年 4 月开工, 于 2018 年 6 月全部完工,其中岩锚梁混凝土浇筑 期间3个月未进行爆破开挖,开挖支护施工直线 工期23个月,相比合同要求的节点目标"2018年 12月底完成厂房开挖支护施工"提前6个月时间 完成。

## 4.2 变形控制评价

围岩变形监测共布置 64 套多点位移计,累计变形测值在 -3.41 mm ~70 mm 之间,小于 30 mm 的测点占比 73.44%,大于 50 mm 的测点占比 6.25%。最大变形发生在 1 # 机组段监测断面下游边墙岩锚梁上部,该部位在爆破开挖前通过排水廊道预埋了多处位移计,实现了爆破开挖全过程变形量监测。

爆破开挖施工期间,围岩变形主要发生在监测断面及附近岩体开挖期间,变形曲线总体符合硬岩台阶状特征。截至 2018 年 12 月底,经过半年时间的持续监测,数据表明各部位监测变形已基本控制。类比国内同等规模水电站地下厂房,杨房沟水电站厂房变形控制属于中等偏上水平。4.3 开挖质量评价

地下厂房开挖成型良好,质量优良。厂房总开挖量为 36.5 万 m³,总超挖量 7 454 m³,超挖率 2%,其中地质超挖量 1 274 m³,扣除地质超挖量 后的平均超挖 11.9 cm。开挖面平均半孔率 93%,整体平均平整度 6.7 cm,平整度检测合格率 96%。岩锚梁岩台开挖平均半孔率 96%,整体平均平整度为 4.6 cm,平均超挖 7.3 cm。

## 5 结 语

杨房沟水电站地下厂房开挖施工过程中揭露 的工程地质条件及工程地质问题与前期勘察成果 基本一致,但下游边墙部分洞段开挖揭示的地质 条件偏差。开挖支护施工过程中,结合工程的实 际地质条件、现场监测数据,设计及时开展了厂房 结构安全稳定复核及动态支护设计工作,并建立 围岩安全监测变形管理标准。通过精细化管理和 控制,围岩应力调整变形得到了有效的控制,目前 洞室结构整体处于稳定状态。地下厂房工程施工 方法、工艺水平、施工质量、围岩变形控制水平均 处于行业先进水平。

杨房沟水电站作为我国首座采用设计施工总 承包模式建设的百万千瓦级大型水电站,设计施 工高度融合、优势互补,工程建设管理水平处于行 业领先水平,为总承包模式在水电行业的进一步 推广积累了宝贵的经验。

#### 参考文献:

- [1] 水电站地下厂房超大洞室群建设技术综述[J].水力发电. 2016,8:1-11.
- [2] 我国水电站地下厂房的发展[J].水力发电.2015,6:65-68.
- [3] 向家坝水电站大型地下厂房洞室群施工和监测[J].岩石力 学与工程学报.2011,4:666-675.
- [4] 小湾水电站引水发电系统地下厂房安全监测及施工期监测成果[C].隧道、地下工程及岩石破碎理论与应用.
- [5] 二滩水电站地下厂房围岩的变形特征[J].水电站设计. 2000,4:54-61.
- [6] 官地地下厂房洞室群施工期围岩位移特征分析[J].岩石力 学与工程学报.2012, 2:3911-3919.
- [7] 锦屏二级水电站地下厂房设计和工程实践[J].水力发电. 2016,7:53-57.
- [8] 大岗山水电站地下厂房安全监测成果分析[J].人民长江. 2012,22:73-76.
- [9] 长河坝水电站地下厂房围岩变形特征[J].四川水力发电. 2016,1:49-53.
- [10] 某水电站地下厂房施工期开挖监测反馈分析[J].人民长 江.2014,17:94-98.
- [11] 猴子岩水电站地下厂房洞室群施工期围岩变形与破坏特征[J],岩石力学与工程学报,2014,11;2291-2300.
- [12] 瀑布沟水电站地下厂房开挖施工综述[J].水力发电.2010, 6:56-59.

#### 作者简介:

- 焦 凯(1986-),男,湖北当阳人,高级工程师,硕士,现于雅砻江 流域水电开发有限公司从事水电站工程建设管理工作;
- 李 俊(1989-),男,河南南阳人,工程师,硕士,现于雅砻江流域 水电开发有限公司从事水电站工程建设管理工作;
- 张晓辉(1991-),男,云南姚安人,工程师,学士,现于雅砻江流域 开发有限公司从事水电站工程建设管理工作.

(责任编辑:卓政昌)

# 美国风电光伏的全成本比煤电厂运行成本还低

根据美国 VCE(Vibrant Clean Energy)公司的数据,2018 年美国绝大多数燃煤电厂的运行成本介于 33 美元~111 美元/兆瓦时(不考虑投资成本);2018 年太阳能光伏的平准化成本(考虑投资、运维全生命周期内成本)在 28 美元~52 美元/兆瓦时之间,而风电平准化成本区间更大(因地点资源质量不同),介于 13 美元~88 美元/兆瓦时之间。

(北极星电力网 2019年4月3日)